

図 3.2.1 冬季における塩分の南北断面分布 (130°E)

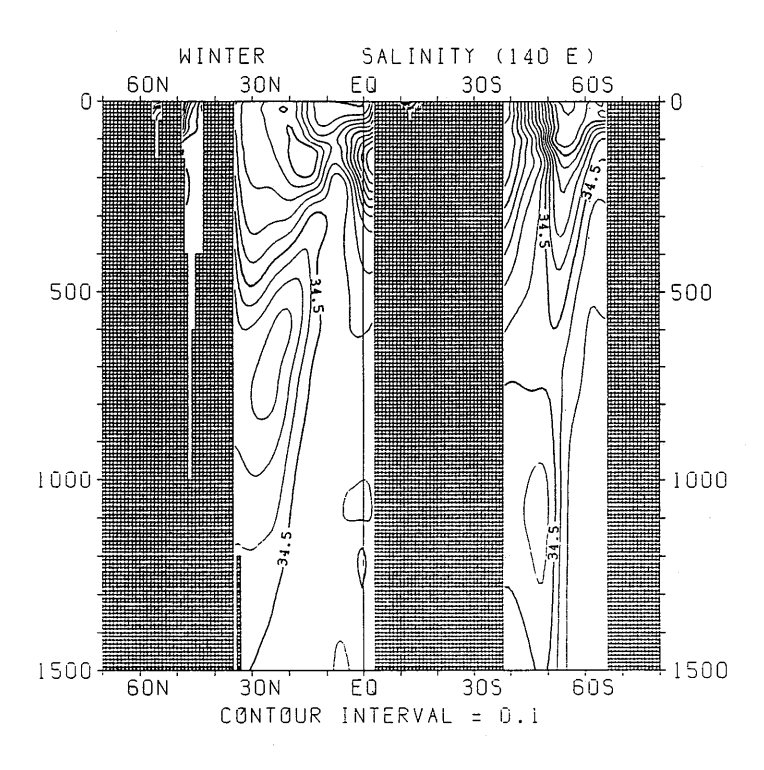


図 3.2.2 冬季における塩分の南北断面分布 (140°E)

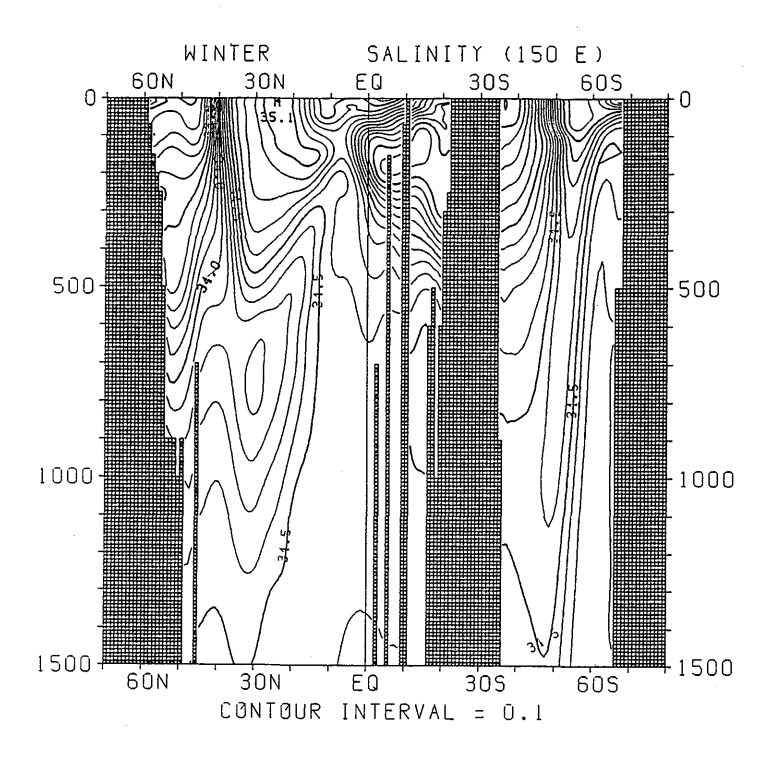


図 3.2.3 冬季における塩分の南北断面分布 (150°E)

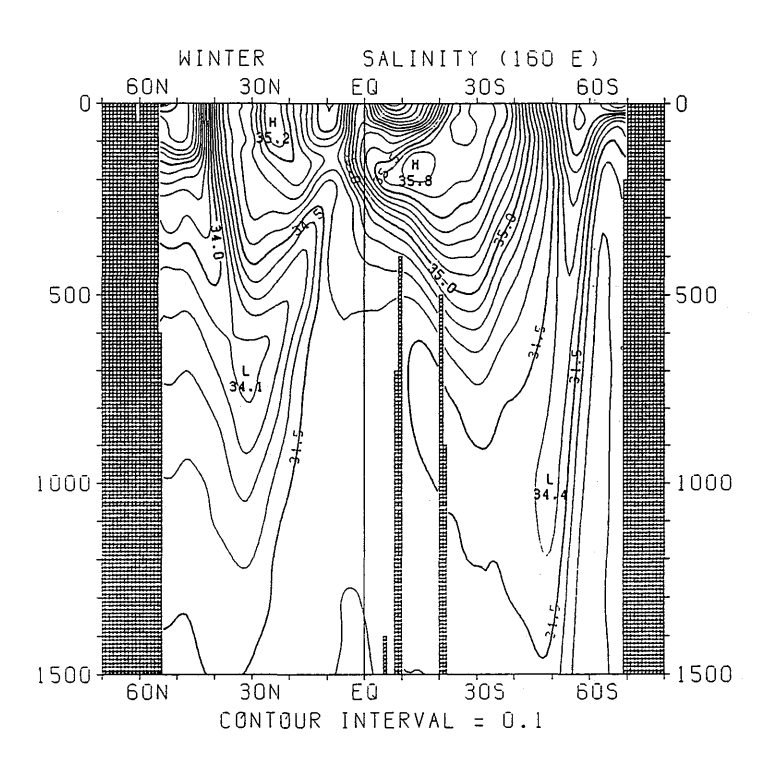


図 3.2.4 冬季における塩分の南北断面分布 (160°E)

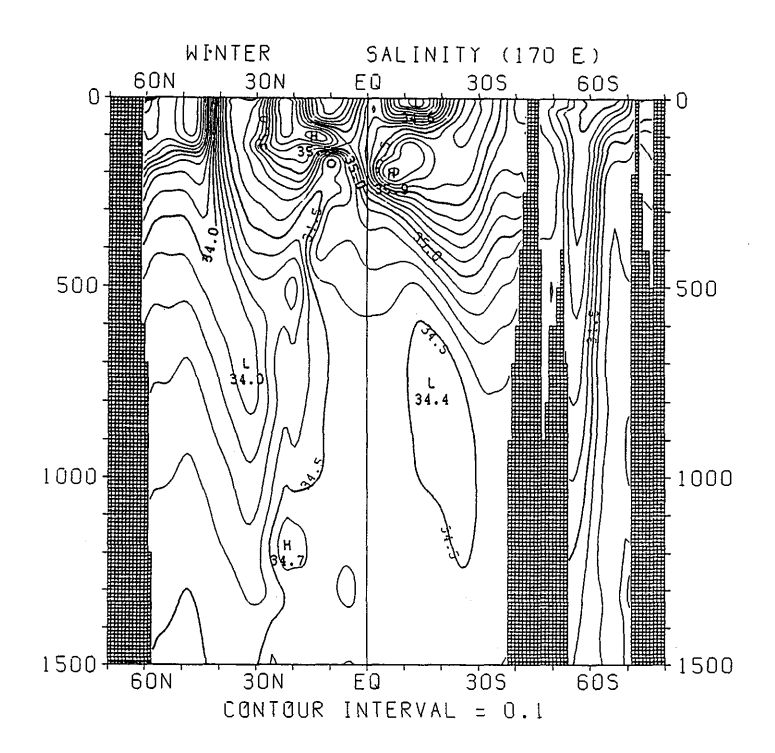


図 3.2.5 冬季における塩分の南北断面分布 (170°E)

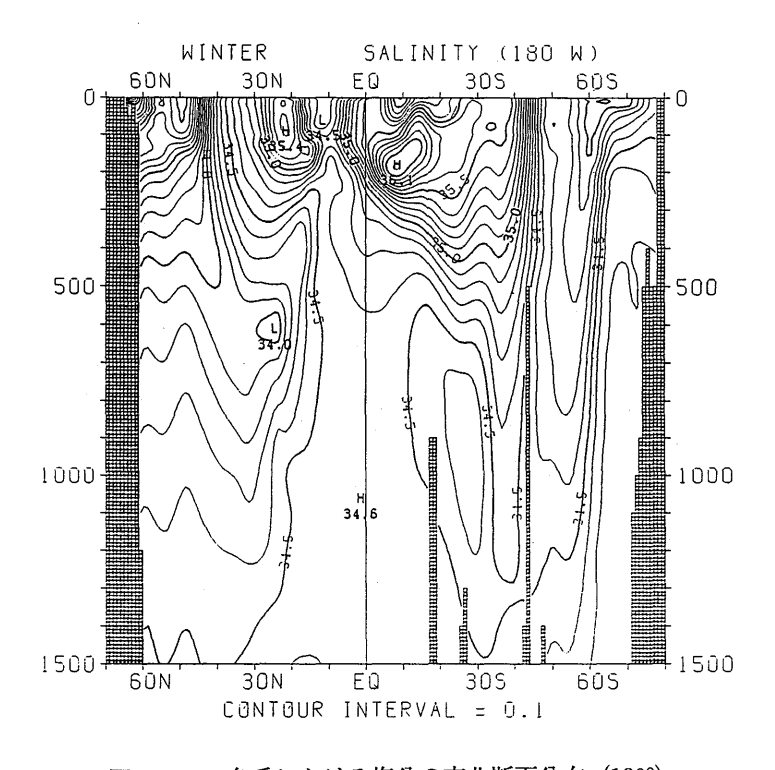


図 3.2.6 冬季における塩分の南北断面分布 (180°)

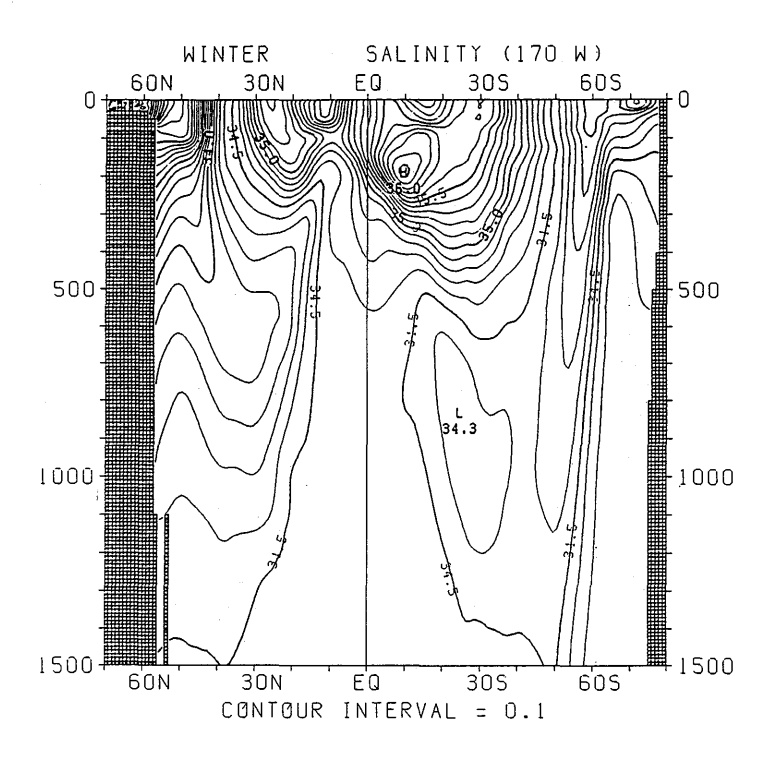


図 3.2.7 冬季における塩分の南北断面分布 (170°W)

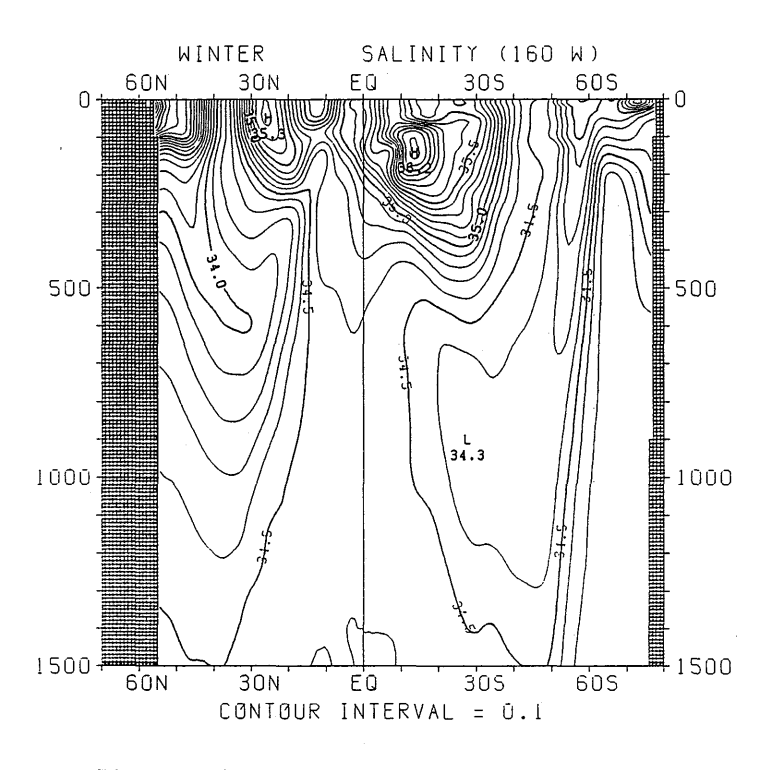


図 3.2.8 冬季における塩分の南北断面分布 (160°W)

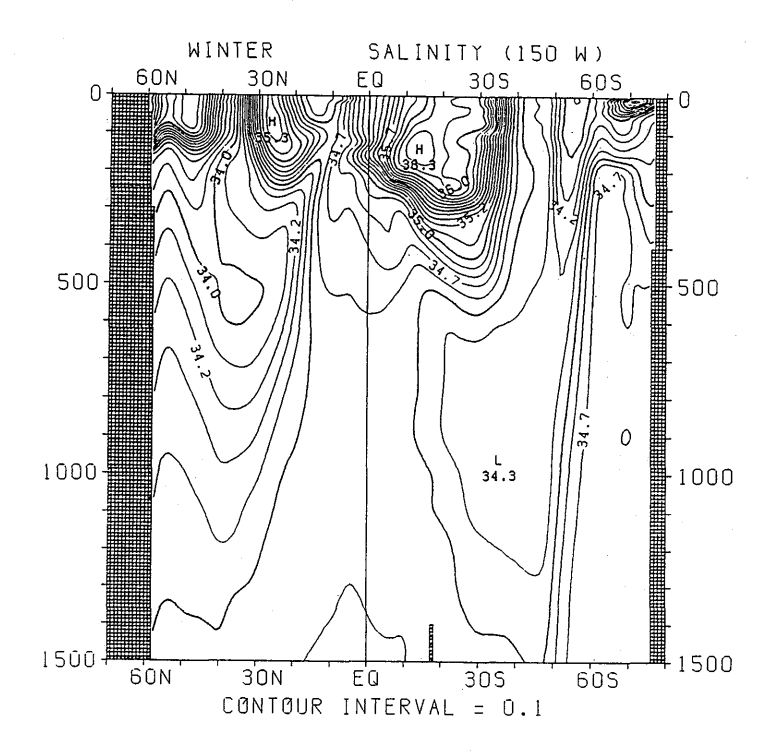


図 3.2.9 冬季における塩分の南北断面分布 (150°W)

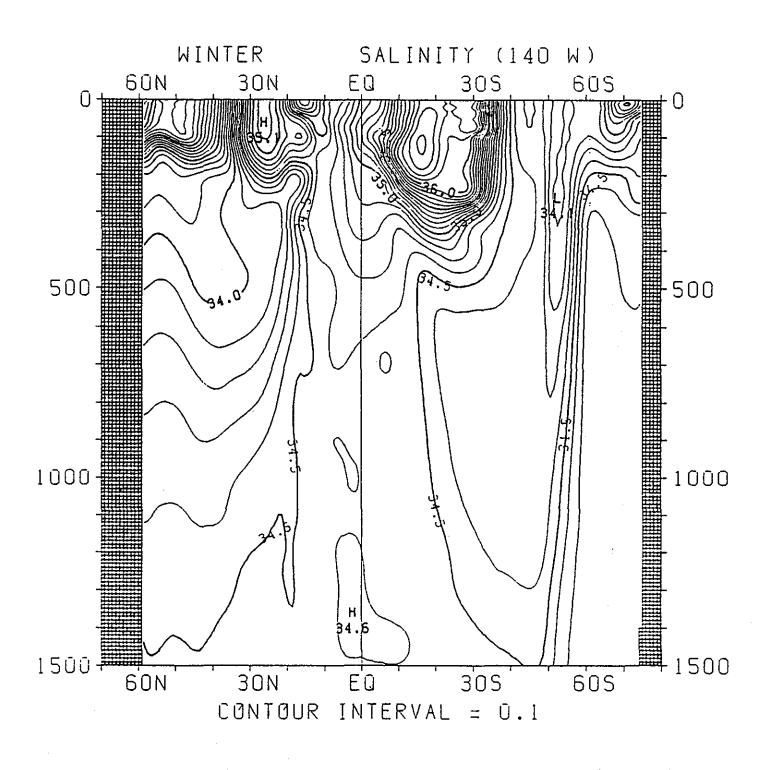


図 3.2.10 冬季における塩分の南北断面分布 (140°W)

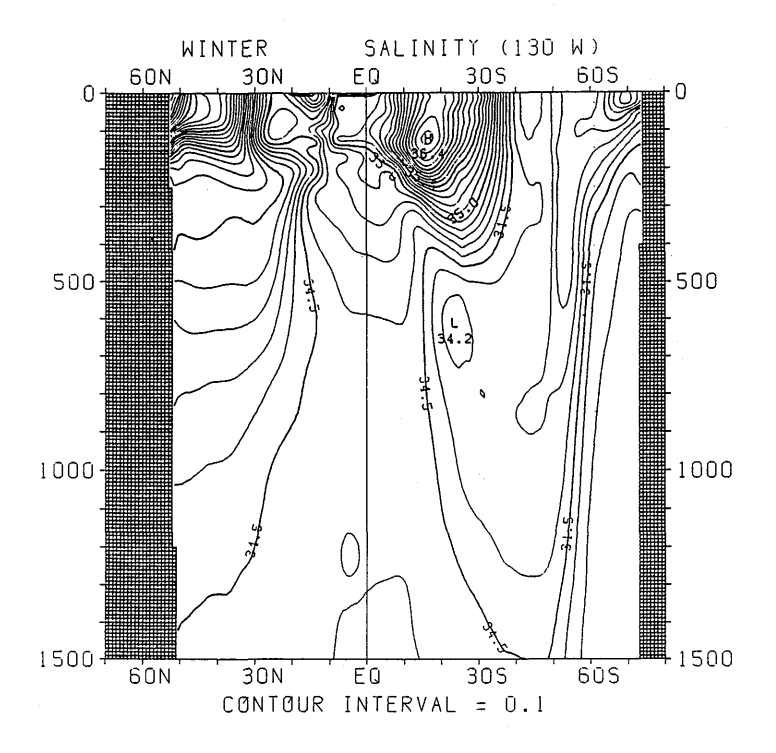


図 3.2.11 冬季における塩分の南北断面分布 (130°W)

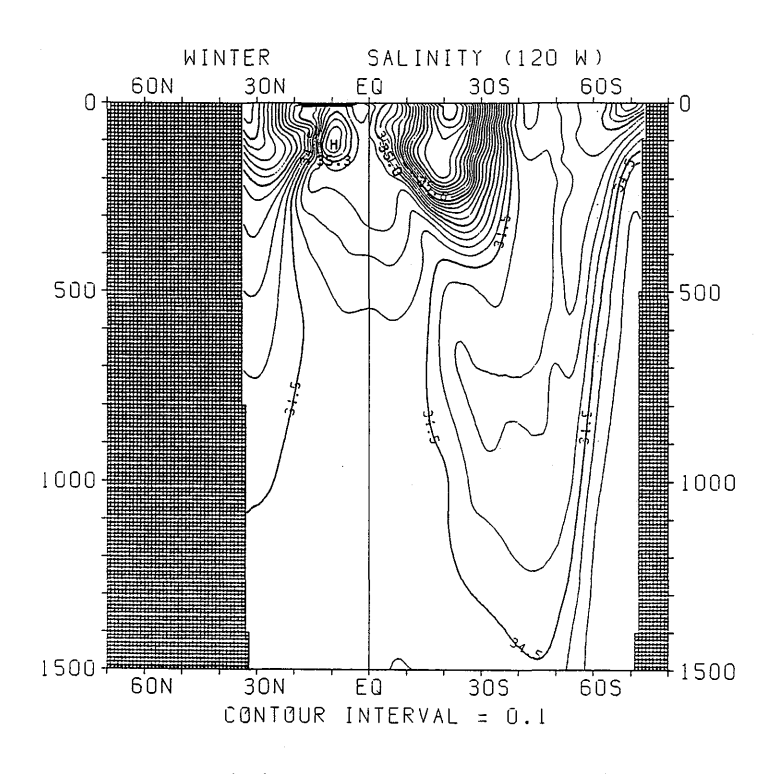


図 3.2.12 冬季における塩分の南北断面分布 (120°W)

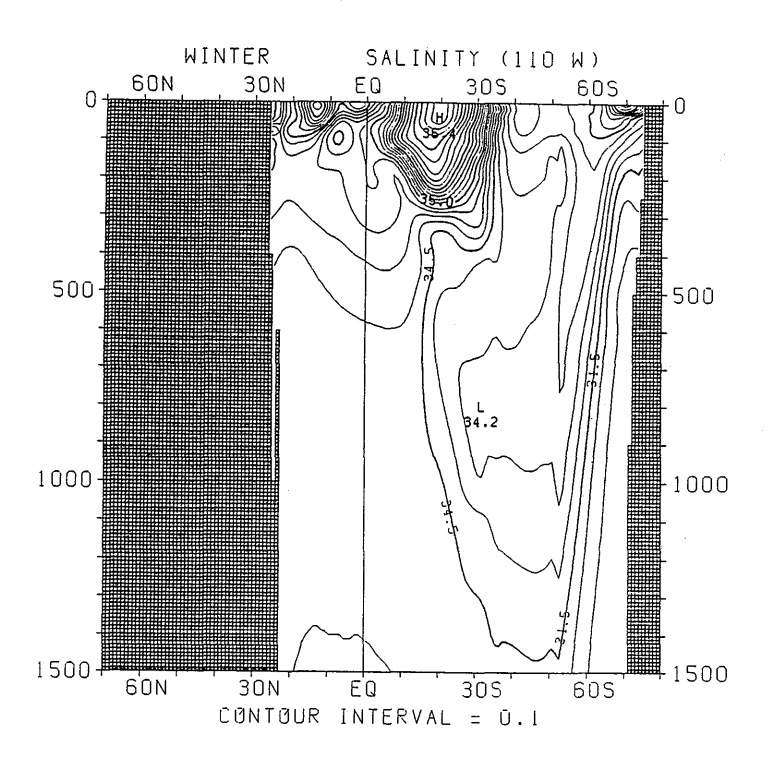


図 3.2.13 冬季における塩分の南北断面分布 (110°W)

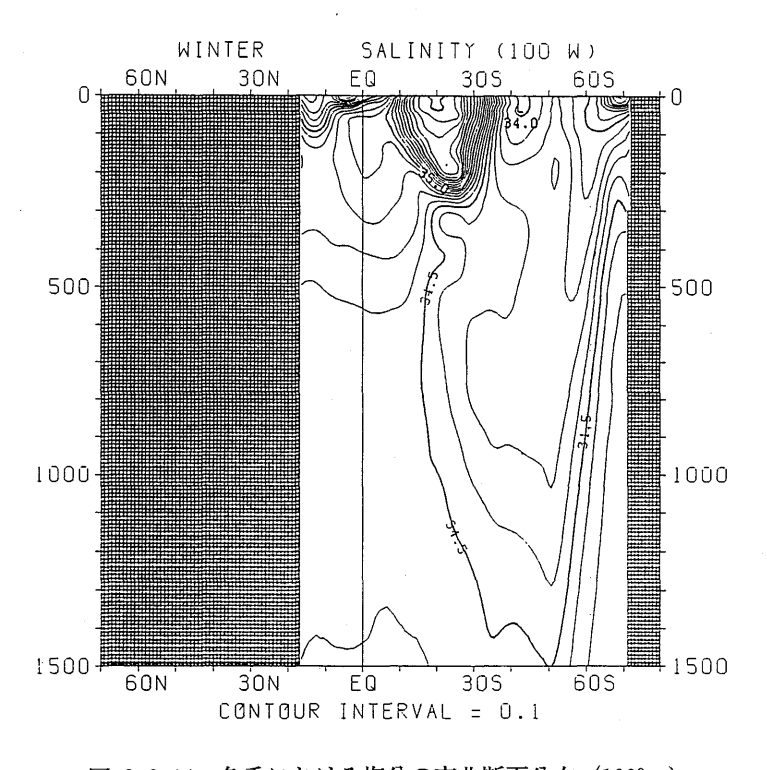


図 3.2.14 冬季における塩分の南北断面分布 (100°W)

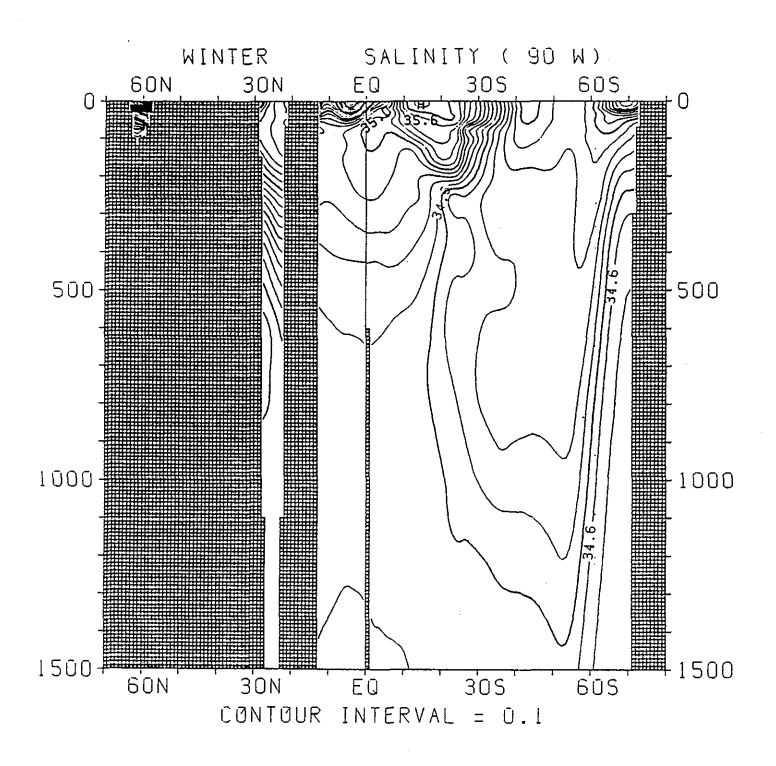


図 3.2.15 冬季における塩分の南北断面分布 (90°W)

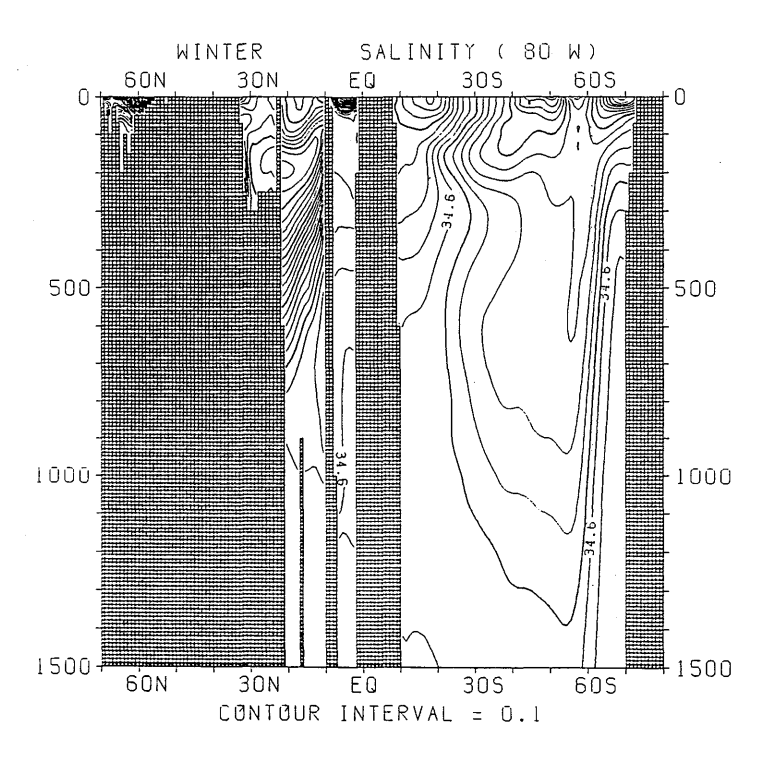


図 3.2.16 冬季における塩分の南北断面分布 (80°W)